

FDUMA 共有メモリ・アーキテクチャにおける バス・アービトリレーション

森垣 利彦 弘中 哲夫
児島 彰 藤野 清次

広島市立大学 情報科学部 情報工学科

近年、プロセッサと DRAM を 1 つの LSI 上に混載することでメモリバンド幅を広げる研究が行われている。しかし、この方法ではベクトル処理的な用途以外では得られるメモリバンド幅を有効に活用できず、On Chip Multiprocessor などの共有メモリとして利用しにくい。そこで我々はこの問題を解決するメモリ・アーキテクチャとして、FDUMA マルチポートメモリシステムを提案している。本稿では、現在開発中である FDUMA メモリシステムの試作機で用いるバス・アービトリレーションについて述べ、その後ソフトウェア・シミュレータによる FDUMA メモリシステムの特性評価を行う。

Bus Arbitration for FDUMA Shared Memory Architecture

Toshihiko MORIGAKI Tetsuo HIRONAKA
Akira KOJIMA Seiji FUJINO

Department of Computer Engineering, Faculty of Information Science,
Hiroshima City University

Many research are done on deriving high memory bandwidth by merging the DRAM and logic on one chip. This merged DRAM/logic chip is effective for vector-style processing. Although it is not suitable for shared memory architecture like the On Chip Multiprocessor. We proposes an memory architecture, *FDUMA Multiport Memory System*, to solve the problem. This paper describes the method of bus arbitrations, that we use to implement the prototype FDUMA Memory System. The results of performance evaluation done by software simulation are also presented.

1 はじめに

近年メモリとプロセッサを結ぶメモリバスが LSI のピンネックの原因となることが問題になっている。この問題を解決する一つの方法として現在着目されているのが DRAM 混載ロジックであり現在さまざまな研究が行われている [PAC+97][村上 96]。つまり、DRAM 混載ロジックが実現できるようになったことで DRAM とプロセッサを同一 LSI 内に実現することが可能になり、LSI のピンネックを避けてメモリとプロセッサのメモリバス幅を広げることが可能になった。しかしながら、このような方法を用いるだけでは大きな性能向上を達成することは困難である。これは次のような事柄が問題となるためである。

a. 単純にバス幅を拡張するだけでは連続アドレスへのアクセスのみが高速化される。そのため、メモリバンド幅を有効に使用できるアプリケーションが限定され、ベクトル処理的な用途以外ではメモリバンド幅を有効に活用できない。

b. メモリ容量に制限が生じる。高いメモリバンド幅でアクセスできるのは LSI 内のメモリのみである。そのため大容量のメモリを必要とするようなアプリケーションを用いる場合、従来のキャッシュと同様にデータ入れ替えのオーバヘッドが問題となってくる。

本稿では、上記の問題を解決する FDUMA (Functional memory with Distributed Unified Memory Access) 共有メモリ・アーキテクチャ [弘中 97] の概要とその実現方式について述べた

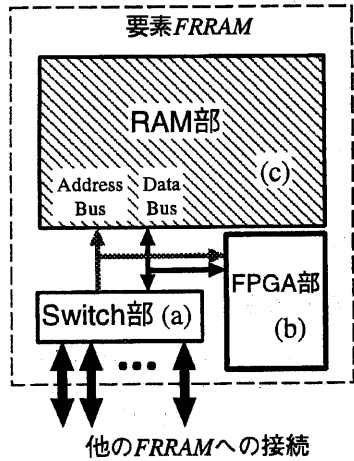


図 1: FRRAM の概念図

後、FDUMAにおいてメモリアクセスの際に発生するバスの競合をアービトレイションするための、バス・アービトレイション方法の提案を行い、最後にシミュレーションによる評価結果を示す。

2 FDUMA メモリシステム

2.1 特徴

FDUMA 共有メモリ・アーキテクチャは 1 節であげた目的を達成するため、プロセッサ間結合網とメモリを一体化したメモリ・アーキテクチャであり、次のような特徴を持つ。

- a. FDUMA メモリシステムは、見通しのよいプログラミングモデルが提供可能な共有メモリ型マルチプロセッサを実現するマルチポートメモリシステムである。
- b. プロセッサからの指示によりメモリ内の FPGA 部をプログラムし、そのメモリ内のデータに対して単純な演算やデータの移動をプロセッサの動作と並行して行うことが可能である。
- c. 単純な構造を 2 次元的に繰り返す構造により実現することも可能であるため、大規模 VLSI アーキテクチャとしても向いている。

以下にこれらの特徴を実現するためのメモリシステムの基本アーキテクチャについて述べる。

2.2 基本アーキテクチャ

FDUMA 方式は、FRRAM (Functional Routing RAM) をネットワークスイッチとして用いてさまざまな結合網 (クロスバ、メッシュ、トーラス、ハイパーキューブ、オメガ網等) を実

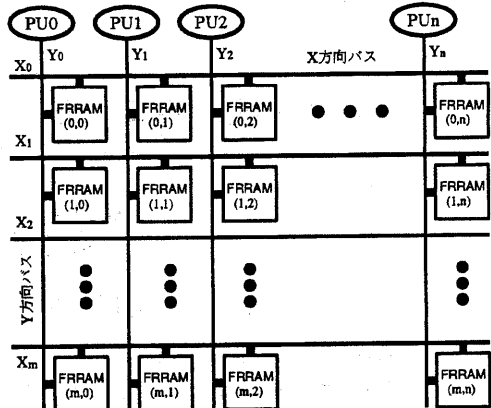


図 2: メッシュ型 FDUMA の概念図

現し、このトポロジにより同時アクセスが可能な多バンク構成、パイプライン・メモリアクセスを可能にするインタリーブメモリ構成を実現する。ただし、ここでは実装を簡単にするため、メッシュを用いたメッシュ型 FDUMA についてのみ議論する。FRRAM は図 1 に示すように (a) 結合網を構成する Switch 部、(b) プログラマブルな機能ユニットである FPGA 部、および (c) 主記憶を構成する RAM 部から構成されている。

このような FRRAM を複数相互に接続したものが、FDUMA メモリシステムである。図 2 にメッシュ型に FRRAM を配置した FDUMA メモリシステムの例を示す。

2.3 メモリアクセス動作

メッシュ型 FDUMA メモリシステムは図 2 に示すように FRRAM を X 方向バス、Y 方向バスの交点にそれぞれ配し、メモリシステムに接続するプロセッサは必要数だけ各 Y 方向バスに接続される。図 1 に示す Switch 部で Y 方向バス、X 方向バス間のデータの中継、および、RAM 部、FPGA 部へのデータの受渡しを実現する。各 FRRAM 上のメモリはシステム全体で一意の物理アドレスを用いてアドレッシングされ、すべてのプロセッシング・ユニット (Processing Unit; PU) からアクセス可能である。

3 バス・アービトレイション

FDUMA において複数の PU からの同時アクセスを可能にするため、バスのアービトレイションを行う必要がある。また、現在試作している FDUMA は信号線数を制限するため、アドレスとデータが同じバスを使用する、そのためアドレスとデータの競合もアービトレイションする必要がある。本節はまず 3.1 項で問題の定義を行った

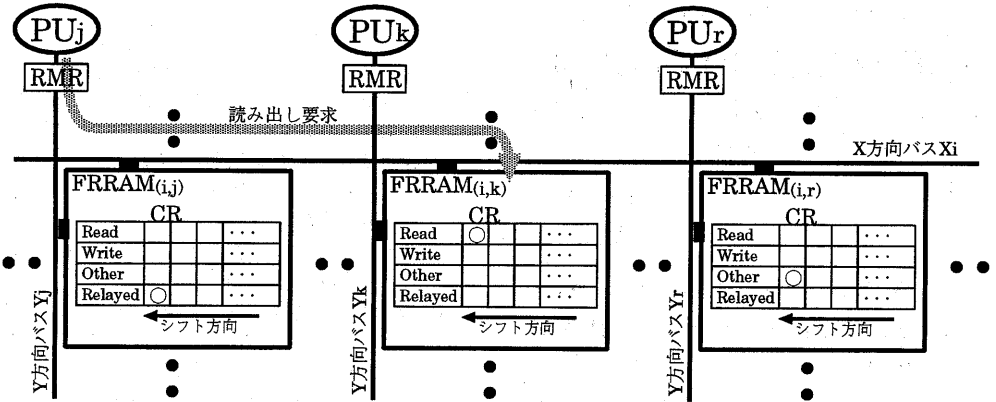


図 3: FRRAM の状況把握レジスタの動作

ち、次の 3.2 項で X 方向バスのアービトレイションの方法について述べ、3.3 項で FRRAM からのデータの読み出しについて述べる。3.4 項ではデータ読み出しと書き込み動作の違いについて述べ、最後に 3.5 項で Y 方向バスしか用いない場合についての説明を行っている。

3.1 データの読み出しにおける競合

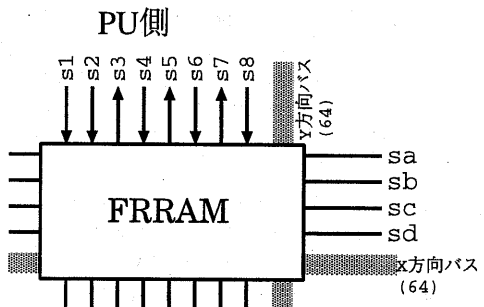
図 3 のように、 PU_j は $FRRAM_{(i,k)}$ からデータの読み出しの必要が生じた場合を例に説明を行う。まず PU_j は $FRRAM_{(i,k)}$ に読み出すデータのアドレスを送るが、このとき X 方向バス X_i を使う必要がでてくる。ここで同時に他の PU が X_i を使おうとしている場合、X 方向バスのアービトレイションを行わなければならない。以下にアービトレイションの方法を述べる。

ここで、図 4 はアービトレイションおよびデータの転送を行う際に必要となる信号線である。図中の信号線の矢印の向きは信号を伝える方向である。以下、文中で具体的に信号線をあげて説明する時は、図 4 の信号線名を用いる。

メモリアクセスを行う PU は Y 方向バスと X 方向バスの中継点にあたる FRRAM に対して、X 方向バスを使用するための予約を信号線 s1, s2 によって出す。 PU_j の場合は中継点は $FRRAM_{(i,k)}$ となる。 X_i 上の予約を受けた FRRAM 間でアービトレイションを行い、 X_i を使用する PU の順番を決定する。以下 FRRAM 間でのアービトレイションの詳細を述べる。

3.2 X 方向バス・アービトレイション

X 方向バスのアービトレイションの概念図を図 5 に示す。まず、4 個の隣り合う FRRAM の中で PU からの X 方向バスの使用予約を受けたものから、アービタにより 1 つ選ぶ。この操作は 1 ステージで行われる。



信号線一覧	
s1: X方向バス番号(*a)	s5: 要求受理(1)
s2: X方向バス予約信号(1)	s6: RW用X方向バス番号(*a)
s3: 次サイクル要求実行(1)	s7: 次サイクルRW実行(1)
s4: Y方向バス上のFRRAMへの要求割り込み(1)	s8: Y方向バス上のFRRAMへのRW(1)
sa: アービトレイション用(*b)	次サイクル
sb: 要求受理(1)	x方向バス使用状態(1)
sc: 読み出し	
sd: 書き込み	2ビット必要

*a: X方向バスの本数が表現可能なビット幅
*b: アービタ1つにつき2ビット必要

図 4: メモリアクセスに使用する信号線

次に前の操作で選んだ FRRAM4 個の間で再び同様に 1 つ選ぶ。このように次に X 方向バスを使用可能な FRRAM を決定する。つまりその FRRAM と同じ Y 方向バスにある PU を決定することになる。4 個から 1 個を選ぶ操作を 1 ステージで行いパイプライン化することで、大規模なシステムにおいてもアービトレイションによるオーバヘッドを軽減できる。

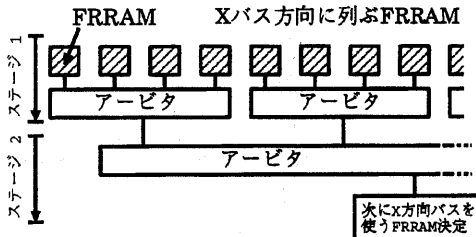


図 5: X 方向バス・アービトリエーション概念図

3.3 FRRAM からのデータの読み出し動作

ここではすでに前項の X 方向バス・アービトリエーションにより $FRRAM_{(i,j)}$ が X_i の使用権を得たものとする。つまり PU_j が X_i を使用して、読み出し要求を出すことが可能になったとする。

$FRRAM_{(i,j)}$ は使用権を得ると s_1 が自分を指しており、次サイクルに X_i かつ Y_j が使用可能であるとき、 s_3 によって次サイクルで要求が可能であることを PU_j に知らせる。また、このとき $FRRAM_{(i,j)}$ が次サイクルで Y_j と X_i の中継を行うことが決定する。

s_3 によって要求が可能であることを受けとった PU_j は読み出すアドレスをバスに流す。このとき Y_j および X_i 上の全ての $FRRAM$ は、バスに流れるアドレスが自分自身に対する読み出し要求であるかどうかを判断する。以下、要求が受理されない場合と受理される場合に分けて説明する。

a. 要求が受理されない場合：読み出し要求を受けた $FRRAM_{(i,k)}$ がすでに他の PU によって読み出し要求を受けており、要求を貯めておくためのキューが埋まっている場合。このとき $FRRAM_{(i,j)}$ および PU_j は要求が受理されなかつことを s_5 に受理信号が流れることで知る。これにより、 PU_j には再度要求を出す必要が生じ、 $FRRAM_{(i,j)}$ では X 方向バスアービトリエーションの最上位階層の予約を保持する必要が生じる。.

b. 要求が受理される場合： $FRRAM_{(i,k)}$ が他の PU によって読み出し要求を受けていない、もしくは受けていてもキューに空きがある場合。 $FRRAM_{(i,k)}$ は s_5 に受理信号を流す。

PU_j は s_5 の受理信号を受けると、それ自身が持つ要求記憶レジスタ (RMR) に以下の情報を記憶する (図 3 参照)

- 要求を出した $FRRAM$ がある X 方向バス番号
- 書き込みか、読み出しか
- Y 方向バスのみを使用するアクセスか否

か

また、 $FRRAM$ には、状況把握レジスタ (CR) と呼ぶレジスタがある。ここで要求が流れた X 方向バス上にあるすべての $FRRAM$ は以下の 4 つの項目のうちそれ自身が該当する情報を保存する。

Read: 自分に対して読み出し要求があった (図 3 の $FRRAM_{(i,k)}$ の CR 参照) .

Write: 自分に対して書き込み要求があった (書き込み時に使用) .

Other: 同じ X 方向バス上にある他の $FRRAM$ に対する要求があった (図 3 の $FRRAM_{(i,j)}$ の CR 参照) .

Relayed: 自分が Y 方向バスと X 方向バスの中継を行った (図 3 の $FRRAM_{(i,r)}$ の CR 参照) .

RMR および CR は FIFO として動作する。 $FRRAM_{(i,j)}$ は、データの転送準備完了後この CR の内容に従って PU_j へのデータの転送を行うため、新たに帰路のアービトリエーションを行う必要がない。これにより、 $FRRAM$ から X 方向バスへアクセスする場合、アービトリエーション・レイテンシは生じない。以下が各 $FRRAM$ の動作を示す。

i. CR の最も古い情報が “Read” である $FRRAM_{(i,k)}$ は、次に X_i にデータを流すことができることを示している。データの転送準備が完了する 1 サイクル前に sc に信号を流し、sd により次サイクル X 方向バス使用信号を確認後、 X_i にデータを流す。

ii. “Relayed” である $FRRAM_{(i,j)}$ は sc に信号が流れたとき、 s_6 が自分を指しているならば sd および s_7 (書き込み時に使用) に信号を流す。また、次サイクルで X_i と Y_j を中継する。

iii. “Other” である $FRRAM$ は何も行わない。

転送が終了後、図中に示すシフト方向に CR をシフトさせ最も古い情報を消す。これにより次に X 方向バスが使用可能な $FRRAM$ が一意に決定し、かつ使用する Y 方向バスも同時に判明する。

3.4 FRRAM へのデータの書き込み

$FRRAM_{(i,k)}$ への書き込みも読み出しの場合と同様に行う。書き込みでは、読み出し要求の代わりに書き込み要求を出す点が異なる。読み出し要求が読み出し先アドレスだったのに対し、書き込み要求は書き込み先アドレスである。要求は、CR に登録され順番が来るのを待つ sc に信号を出す。PU は s_7 によって $FRRAM$ が書き込みが可能となることを知り、次サイクルから書き込む

データをバスに流す。

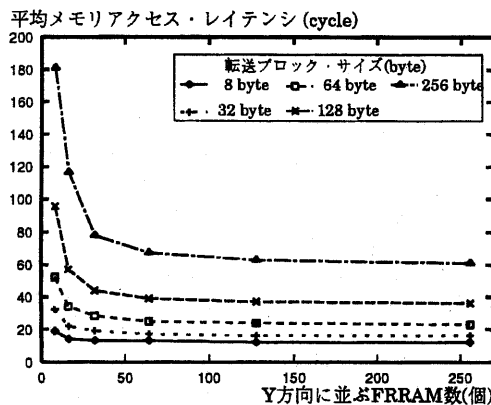


図 6: FRRAM 数とメモリアクセス・レイテンシの関係

3.5 Y 方向バスのみを使用するメモリアクセス

PU と同一 Y 方向バス上に存在する FRRAM に対するアクセスは前述の方法とは異なる。X 方向バスを使用しないため、X 方向バスの競合を避けるためのアビトリレーションを行う必要がない。よって、X 方向バス使用予約を出す必要がなく、要求を受けとっても FRRAM は CR に記憶しない。以下、読み出しと書き込みに分けて説明する。

• 読み出し：PU が次サイクルにおいて、読み出しおよび書き込みを行わないとき、PU と同じ Y 方向バス上の FRRAM に対する要求を行うことを s4 によって伝える。これにより、この Y 方向バス上のすべての FRRAM は次サイクルにおいて X 方向バスへの中継を行わない状態となる。そのとき PU は Y 方向バスに要求を流す。要求が受理されたら PU は RMR に Y 方向バスのみを使う読み出し要求を行ったことを保存する。

RMR が自分の順番となるのを待ち、s6 でデータ読み出し時では FRRAM のある X 方向バス番号を、s8 で Y 方向バスのみを使うアクセスであることを示す。この FRRAM の読み出し準備が完了次第、s7 により PU にそれを知らせる。これで、次サイクルからデータの読み出しが開始される。

• 書き込み：PU は書き込み要求を出す前に、まず Y 方向バスのみを使った書き込みを行なうことを RMR に登録する。PU が RMR に従って順にデータ転送を行い、自分の順番が来るのを待つ。次に読み出しと同様に要求を

出し、そのまま続けて次サイクルからデータも Y 方向バスに流すことで書き込みを行う。

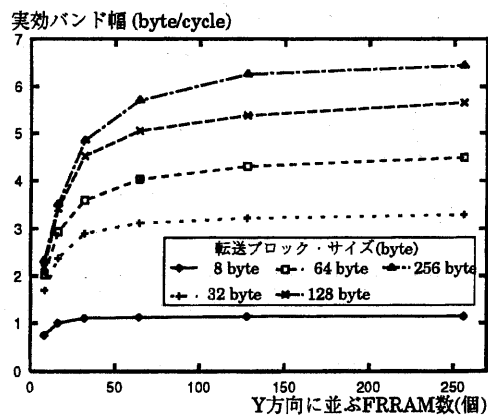


図 7: FRRAM 数と実効バンド幅の関係

4 シミュレーションによる評価

本節ではメッシュ型 FDUMA メモリシステムにおける構成が性能に及ぼす影響を、ランダムにデータをブロック転送することによって評価する。

4.1 FRRAM 数が性能に及ぼす影響

PU および X 方向の FRRAM を 16 個に固定し、Y 方向の FRRAM 数を変化させることによる平均メモリアクセス・レイテンシ、およびメモリバンド幅への影響をソフトウェア・シミュレータを用いて調べる。また、ブロック転送サイズの違いによる性能への影響も同時に調べる。

FRRAM 数を増加させた場合、図 6 に示す通りある程度まではレイテンシの短縮がみられ、また図 7 で示す通りバンド幅の増加もみられる。これは FRRAM 数の増加により、Y 方向の FRRAM 数が少ないとボトルネックとなっていた X 方向バスの通信量が緩和されるためである。しかし、FRRAM 数の増加を続けると今度は Y 方向バスの使用率が限界に近くなるため性能が向上しなくなる。この評価を基に、Y 方向の FRRAM 数を X 方向の 2 倍から 4 倍程度用意した、Y 方向に伸びた長方形のシステムを構成するのがコスト、性能の両方の面で効率がよいといえる。また、転送するブロック・サイズに注目すると、ブロック・サイズを増加させるとバンド幅が向上し減少させるとメモリアクセス・レイテンシが向上する。これより使用するアプリケーションの用途にあわせてメモリアドレス割り付けを最適化する必要があることがわかる。

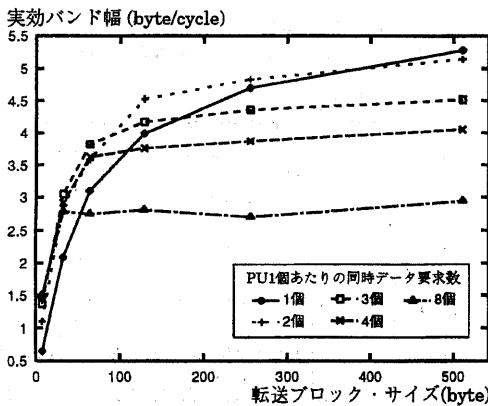


図 8: 輻輳制御によるレイテンシの変化

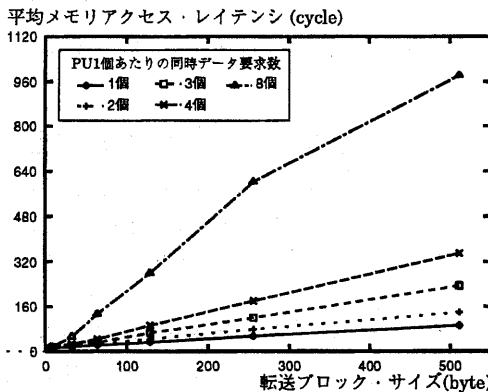


図 9: 輻輳制御によるバンド幅の変化

4.2 輻輳制御が性能に及ぼす影響

PU がメモリアクセスを行うとき、データ転送をせずして要求のみを出し続けると 1 つの PU が多くの FRRAM を占有する。他の PU がその FRRAM へのアクセスを行うとき、最悪 1 つの PU が現在占有しているすべての FRRAM に対するデータ転送を待たなければデータ転送を開始できない。本項では、この問題を避けるために各 PU の要求数を制限する輻輳制御を行うが、どの程度行うのが効率が良いのかを評価する。評価は 16PU, FRRAM が X 方向に 16 個 Y 方向に 32 個のシステムで行った。

図 8 より単位転送ブロック・サイズが 8 から 64 (byte) 程度では PU1 個あたりが FRRAM に対して同時に提出する要求の数 (同時データ要求数) は 3, 64 から 256 (byte) の間では 2, それ以上では 1 にするのが性能がよい。また、図 9 より同時データ要求数が少ないほど平均メモリアクセス・レイテンシが小さく性能がよいことがわか

る。この 2 つの図より、同時データ要求数は広い範囲で高い性能を示している 2 を採用するのが望ましいといえる。

5 まとめ

本稿では FDUMA メモリシステムのアービトレーション方式について述べ、その方式をソフトウェア・シミュレーションにより評価した。当初試作を計画していた FRRAM は正方形に配置したシステムであった。しかし本評価から、期待する性能を得るには少なくとも X 方向に並べた FRRAM 数の 2 倍の FRRAM を Y 方向に用意すべきであることがわかった。輻輳制御では同時データ要求数の制限を 2 にすれば、各ブロック・サイズで平均してパフォーマンスがよいことがわかった。今後、本評価をもとに FDUMA メモリシステムの詳細設計を行っていく予定である。

謝辞

日頃ご討論戴く広島市立大学 情報科学部 情報工学科の高山毅助手、およびコンピュータシステム講座の諸氏に感謝致します。

参考文献

- [PAC⁺97] David Patterson, Thomas Anderson, Neal Cardwell, Richard Fromm, Kimberley Keeton, Christoforos Kozyrakis, Randi Thomas, and Kathy Yelick. Intelligent ram (iram): Chips that remember and compute. In *1997 IEEE International Solid-State Circuits Conference*, February 1997.
- [弘中 97] 弘中哲夫, 森垣利彦, 児島彰. FDUMA 共有メモリ・アーキテクチャにおけるバス・アービトレーション. 第 5 回 FPGA/PLD Design Conference 予稿集, pp. 223–231, Tokyo, Japan, June 1997.
- [村上 96] 村上和彰, 岩下茂信, 宮嶋浩志, 白川暁, 吉井卓. メモリーマルチプロセッサー一体型 aspp(application – specific standard product) アーキテクチャ: pram. Technical report, 信学技法 CPSY96-13, 1996.